

用铅离子选择性电极测定海水中硫酸根

周 锦 帆

(北京铀矿选冶研究所)

海水中硫酸根的测定至今仍用费时的重量法^[1]。铅离子选择性电极虽能准确地测定 SO_4^{2-} ，但样品中大量的 Cl^- 干扰 SO_4^{2-} 的测定。Mascini^[2] 为使海水中的 SO_4^{2-} 与 Cl^- 分离，将海水样品通过 Ag^+ 型阳离子交换树脂分离海水中的 Cl^- ，接着又通过 H^+ 型阳离子树脂(树脂层均为 $15 \times 0.5 \text{ cm}$)分离 Ag^+ ，最后将流出液调到 pH 5—6 后，用铅离子选择性电极为指示电极进行电位滴定。该方法较烦，且树脂易被 Ag^+ 氧化而使交换容量变得很低^[2]。Scheide^[3] 采用将样品稀释 100 倍，不经分离而直接在 80% 异丙醇溶液中进行 Gran 法滴定。该方法未考虑样品中 Ca^{2+} 引起的负干扰以及 CO_3^{2-} 引起的正干扰。作者采用小型活性氧化铝柱使样品中的 SO_4^{2-} 与 Cl^- ， Br^- ， Ca^{2+} 和 Mg^{2+} 等离子分离，然后用铅离子选择性电极为指示电极、以 $\text{Pb}(\text{NO}_3)_2$ 为滴定剂滴定 SO_4^{2-} ，方法简便且准确度高。

一、实验部分

1. 仪器与试剂

铅离子选择性电极：江苏省电分析仪器厂。

参比电极：217型双接界甘汞电极，外室充 0.5 M NaNO_3 。

pH 计：OP-208型数字式精密 pH 计(匈)，精密度为 $\pm 0.1\text{mV}$ 。

活性氧化铝：上海分子筛厂，46—75 目。

小型 Al_2O_3 柱：取约 10 g 活性氧化铝置于 150 ml 烧杯中，加入 50 ml 水，搅拌后倾去上部浑浊液，重复两次。然后用滴管将 1 ml 活性氧化铝装入柱，柱内 Al_2O_3 层为 $4.4 \times 0.54 \text{ cm}$ 。依次用 20 ml 2N HClO_4 ，40 ml 水，20 ml 1N NH_4OH 和 40 ml 水洗，最后用 8 ml 1.5N HClO_4 将活性氧化铝转成 ClO_4^- 型，备用。

柱的再生：用 30 ml 水洗去柱内 NH_4OH ，然后用 8 ml 1.5N HClO_4 转成 ClO_4^- 型。

硫酸根标准溶液：称取 0.7393 g 硫酸钠（二级）溶于 500 ml 水， SO_4^{2-} 的浓度为 1.0 mg/ml。

硝酸铅： $5.0 \times 10^{-3} \text{ M}$ 。滴定度的标定：在 25 ml 烧杯中吸取 1.0 ml SO_4^{2-} 标准液，加水到 5 ml，加 15 ml 95% 乙醇，用 $5.0 \times 10^{-3} \text{ M}$ $\text{Pb}(\text{NO}_3)_2$ 滴定。由电位滴定终点计算滴定度(两次的平均值)。本实验中，滴定度为 0.475 mg $\text{SO}_4^{2-}/\text{ml}$ 。

滴定管：5 ml 酸式滴定管，管口接一拉细的聚乙烯管，使一滴液滴的体积为 0.02 ml。

高氯酸：1.5 N 和 2.0 N。

氢氧化铵: 1.0 N。

实验中均用分析纯试剂和去离子水。

2. 分析手续

吸取 2.0 ml 海水样品置于 20 ml 烧杯中, 加入 5 ml 1.5 N HClO₄, 混匀后过柱。样品流空后用 10 ml 2N HClO₄ 淋洗 Cl⁻, 重复 3 次, 再用 10 ml 水洗去柱内残留 H⁺, 重复 3 次, 最后用 6 ml 1N NH₄OH 将 SO₄²⁻ 洗下并收集于 25 ml 烧杯, 流速均为 2.5 ml/min。将烧杯加热并蒸到体积约 0.5 ml, 取下后加约 10 ml 水并转入 25 ml 容量瓶, 加水到刻度, 摆匀。该溶液称为稀液 I。取 5.0 ml 稀液 I 置于 25 ml 烧杯中, 加 15 ml 95% 乙醇, 插入玻璃电极和 217 型甘汞电极, 在搅拌下用 5.0 × 10⁻³ M Pb(NO₃)₂ 滴定, 同时记录电位计的毫伏读数, 并求出滴定终点(通常为 -185 mV 处)和计算样品中 SO₄²⁻ 的量。

二、结果与讨论

1. SO₄²⁻ 与 Cl⁻ 的分离

取 0.40 ml 海水样品, 加水到 5 ml, 再加 15 ml 95% 乙醇, 用 Pb²⁺ 滴定样品中 SO₄²⁻, 发现达到平衡电位很慢且没有电位突跃。其原因是样品中有大量 Cl⁻, 此外, 还有 HCO₃⁻

表 1 海水中的 SO₄²⁻ 和 Cl⁻, Br⁻ 在 Al₂O₃ 柱上的行踪*

实 验 步 骤	SO ₄ ²⁻ (mg)	Cl ⁻ (mg)	Br ⁻
2.0 ml 样品 + 5 ml 1.5 N HClO ₄	-	21.5	+
2N HClO ₄ (ml)			
0—5	-	16.0	+
5—10	-	1.6	-
10—15	-	0.36	-
15—20	-	0.16	-
20—25	-	0.09	-
25—30	-	0.06	-
水 (ml)			
0—5	-	<0.05	-
5—10	-	<0.05	-
10—15	-	<0.05	-
15—20	-	<0.05	-
20—25	-	<0.05	-
25—30	-	<0.05	-
1N NH ₄ OH (ml)			
0—1	-		
1—2	0.06		
2—3	3.09		
3—4	2.02		
4—5	-		
5—6	-		
6—7	-		

* 样品为青岛公海-1 样品。SO₄²⁻ 用硫酸钡比浊法测定, Cl⁻ 用氯电极法测定。Br⁻ 用高效液相色谱作定性分析。

和 Ca^{2+} 等干扰离子。因此，必须使 SO_4^{2-} 与 Cl^- 分离。

用离子交换法分离毫克级的 SO_4^{2-} 和 Cl^- 在分析化学上是个难题，至今文献没有快速且简便的方法。我们根据在活性氧化铝上 SO_4^{2-} 的亲和力大于 Cl^- 的原理^[4]，观察了海水样品中的 SO_4^{2-} 和 Cl^- 按分析手续在小型活性氧化铝柱上的行踪，结果见表 1。

由表可见， Cl^- 容易被 1.5—2.0 N HClO_4 洗下，而 SO_4^{2-} 不被淋洗； SO_4^{2-} 容易被 1 N NH_4OH 洗下。在最后的 7 ml 1N NH_4OH 淋洗液中 Cl^- 仅为 0.17 mg，即分离了约 99.6% 的 Cl^- 。 $\text{Cl}^-/\text{SO}_4^{2-}$ 由分离前的 7.7/1 变为 0.033/1，所以分离是成功的。

另外，分离后 HCO_3^- 已不存在。至于 Br^- ，虽然干扰试验表明 260 mg Br^- 对 1000 mg SO_4^{2-} 的滴定没有影响，但样品中的 Br^- 大部分与 Cl^- 一起被分离了。

2. 样品中 Na^+ , K^+ , Mg^{2+} 和 Ca^{2+} 在 Al_2O_3 柱上的行为

因为活性氧化铝是无机阴离子交换剂，所以，它不吸附阳离子。我们将青岛公海-1 样品按上述分析手续进行分离，测定了 6 ml 1N NH_4OH 淋洗液中 Na^+ , K^+ , Mg^{2+} 和 Ca^{2+} 的量，结果见表 2。由表可见，该四个元素已定量分离。

表 2 样品经分离后残留在 NH_4OH 淋洗液中的金属离子*

	Na^+ (mg)	K^+ (mg)	Mg^{2+} (mg)	Ca^{2+} (mg)
柱-1	<12.5	<12.5	<2.5	<2.5
柱-2	<12.5	<12.5	<2.5	<2.5
柱-3	<12.5	<12.5	<2.5	<2.5
柱-4	<12.5	<12.5	<2.5	<2.5

* 采用原子吸收法测定。

3. 交换柱的工作容量

实验所用的小型 Al_2O_3 柱，其中 Al_2O_3 层仅 1.0 ml，为了解该柱在上述分析手续中吸附海水中 SO_4^{2-} 的容量，作了如下试验：吸取 8.0 ml 青岛公海-1 样品置于 25 ml 烧杯中，加 5 ml 1.5N HClO_4 ，以下手续同分析手续。测定 6 ml 1N NH_4OH 淋洗液中 SO_4^{2-} 的量，则该柱能吸附样品中 18 mg 以上的 SO_4^{2-} （表 3）。而按分析手续（即取样为 2.0 ml），则样品中的 SO_4^{2-} 约为 5 mg，小于柱的工作容量的 30%。

表 3 小型 Al_2O_3 柱的工作容量

	柱-1	柱-2	柱-3	柱-4	平均
吸附 SO_4^{2-} 的量 (mg)	18.64	18.76	18.64	18.17	18.55

4. 电位滴定曲线

电位滴定时在终点附近电位突跃的大小直接影响方法的精密度。为提高终点的电位突跃，我们在分离了样品中 99% 以上的 Cl^- 之后，采用所谓“分取滴定法”，即将分离出的 SO_4^{2-} 取其 1/5 进行滴定，以减少滴定 SO_4^{2-} 时 ClO_4^- 的共存量。我们将上述的分析手续（称为方法 A）与下述的分析手续（称为方法 B）进行比较。

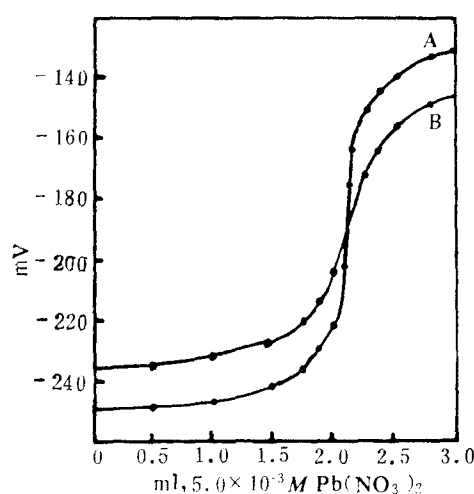


图 1 滴定曲线
A. 方法 A; B. 方法 B

方法 B: 取 0.40 ml 样品置于 25 ml 烧杯中, 加 5 ml 1.5N $HClO_4$, 混匀后过柱, 分离手续同方法 A。最后, 将 6 ml 1N NH_4OH 淋洗液蒸到近干后, 用水稀释到 5 ml (称为稀液 II), 加 15 ml 95% 乙醇, 用 Pb^{2+} 滴定。

方法 A 的电位突跃比方法 B 的电位突跃明显地大 (图 1), 原因是后者在滴定时共存的 ClO_4^- 约为前者的 6 倍 (表 4), 也就是说, 采用“分取滴定法”使共存的 ClO_4^- 减少了约 83%。

表 4 滴定 SO_4^{2-} 时在 5ml 稀液中共存的 ClO_4^- (mg)*

	稀液 I	稀液 II
柱-1	3.9	23.8
柱-2	4.1	24.0
平均	4.0	23.9

* 用 ClO_4^- 电极法测定

表 5 样品分析与精密度

样品编号	SO_4^{2-} (g/l)	平均 (g/l)	相对标准偏差(±%)
青岛公海-1	2.55, 2.57	2.56	0.61
	2.54, 2.58		
	2.55, 2.57		
天津沿海-1	2.08 2.05	2.07	
	2.07 2.08		
天津公海-2	2.45 2.47	2.45	
	2.46 2.43		

表 6 加入回收

样品编号	2.0ml 样品中 SO_4^{2-} (mg)	加入 SO_4^{2-} (mg)	测得 (mg)	回 收 (mg)	回收率 (%)
青岛公海-1	5.120	2.000	7.101	1.981	99
			7.172	2.052	103
			7.054	1.934	97
			7.101	1.981	99
	4.000	4.000	9.144	4.024	101
			9.144	4.024	101
			9.025	3.905	98
			9.069	3.949	99

5. 样品分析、加入回收和精密度试验

样品分析、加入回收和精密度试验的结果见表 5, 6。方法的相对标准偏差为 $\pm 0.61\%$ ，回收率为 97—103%。

三、结 论

用 1.5—2.0 N HClO_4 作淋洗剂在小型活性氧化铝柱上成功地使海水中的 SO_4^{2-} 与 Cl^- , Br^- 分离, 同时也分离了样品中的 Na^+ , K^+ , Mg^{2+} 和 Ca^{2+} 。分离后, 样品中的 HCO_3^- 已不存在。在以铅电极为指示电极对 SO_4^{2-} 进行电位滴定时, 由于采用了“分取滴定法”, 使共存的 ClO_4^- 显著减少, 从而终点的电位突跃非常明显。本方法能分析海水中 0.5—5.0 g/l 的 SO_4^{2-} , 相对标准偏差为 $\pm 0.61\%$ 。分析 6 个样品约需 2 小时。

参 考 文 献

- [1] Grasshoff, K., 1976. Methods of Seawater Analysis, Verlag Chemie. Weinheim, p. 204.
- [2] Mascini, M., 1973. Titration of sulfate in mineral waters and Sea water by using the solid-state lead electrode *Analyst* 98: 325.
- [3] Scheide, E. P. and R. A., Durst, 1977. Indirect determination of sulfate in natural waters by ion-selective electrode. *Anal. Lett.* 10: 55.
- [4] 周锦帆, 1980. 活性氧化铝在硫酸根等阴离子分离中的应用。化学试剂 2: 375。

DETERMINATION OF SULFATE IN SEAWATER BY LEAD ION-SELECTIVE ELECTRODE

Zhou Jinfan

(*Beijing Research Institute of Uranium Ore Processing, Beijing*)

ABSTRACT

A procedure is described for the determination of sulfate in seawaters by using a lead ion-selective electrode.

Chloride and metal ions are separated from the sample by passing it through an activated aluminum oxide column (4.4×0.54 cm). The solution recovered is titrated in 75 percent ethanol with 5.0×10^{-3} M lead nitrate solution. The potential break is very sharp. The reproducibility is ± 0.61 percent.